

ص ۱۴۹-۱۶۳

## بیان ژن کدکننده ویتلوزین در کبد قزلآلای رنگین‌کمان تحت تأثیر پساب کارخانه‌های کاغذ (Oncorhynchus mykiss)

### ایران

- ❖ امیر آرامون: دانشیار گروه شیلات، دانشکده منابع طبیعی دانشگاه تهران، کرج، ایران
- ❖ حمید فرحمدن\*: دانشیار گروه شیلات، دانشکده منابع طبیعی دانشگاه تهران، کرج، ایران
- ❖ علیرضا میرواقفی: دانشیار گروه شیلات، دانشکده منابع طبیعی دانشگاه تهران، کرج، ایران
- ❖ محمدعلی نعمت‌اللهی: دانشیار گروه شیلات، دانشکده منابع طبیعی دانشگاه تهران، کرج، ایران

### چکیده

در ایران سالانه حجم زیادی از پساب کارخانه‌های کاغذسازی وارد محیط می‌شود. عمدت‌ترین پساب‌های این کارخانه‌ها مقدار زیادی الكل و اسید چرب و اسید رزین دارند. این مواد شبیه استروژنیک ارزیابی می‌شوند و باعث عقیمی، تغییر جنسیت، زردشازی قبل از موعد تکثیر، و اختلال در چرخه هورمون‌های ماهیان می‌شوند که محرک تولید ویتلوزین‌اند. اخیراً ویتلوزین بیومارکری کارامد برای تشخیص استروژنیکی این پساب‌ها به حساب می‌آید. بنابراین در این مطالعه در شرایط آزمایشگاهی تأثیر پساب کارخانه کاغذسازی در بیان ژن ویتلوزین کبد قزلآلای رنگین‌کمان بررسی شد. پس از تعیین  $LC_{50}$ ، دوزهای مورد استفاده آزمایش ۲۰۰ ppm و ۵۰۰ ppm و ۰/۰۵  $LC_{50}$  از پساب کارخانه کاغذسازی مازندران و پارس اهواز برای تیمار در روزهای ۰ و ۶ و ۱۴ به دست آمد. برای ارزیابی بیان ژن ویتلوزین، از ماهیان شاهد و در معرض پساب، نمونه‌گیری کبد در روزهای ۰ و ۶ و ۱۴ به عمل آمد. استخراج RNA برای ارزیابی کیفیت و کمیت RNA روی ژل آگاروز ۱٪ و نانودرآپ ۱۰۰۰ از بافت کبد صورت گرفت. بعد از سترز  $cDNA$ ، نمونه‌ها برای ارزیابی میزان بیان ژن با دستگاه Real time PCR به روش سایبرگرین تجزیه و تحلیل شدند. نتایج این آزمایش نشان داد که افزایش بیان ژن ویتلوزین در دوز بالای پساب (۵۰۰ ppm  $LC_{50}$ )، در روزهای ۶ و ۱۴ در مقایسه با گروه شاهد معنی دار بود ( $P < 0/05$ ). در حالی که در غلظت ۲۰۰ ppm  $LC_{50}$  در روز ۶ اختلاف معنی دار بیان ژن ویتلوزین در مقایسه با گروه شاهد مشاهده نشد و فقط پس از ۱۴ روز افزایش معنی دار مشاهده شد ( $P < 0/05$ ). به همین علت می‌تواند حاکی از آن باشد که بیان ژن ویتلوزین بیومارکری کارامد برای پساب‌های استروژنیک کارخانه‌های کاغذسازی ارزیابی شود.

**واژگان کلیدی:** آلدگی‌های استروژنیک، بیان ژن، پساب کارخانه‌های کاغذسازی، ویتلوزین، *Oncorhynchus mykiss*.

اسیدند (Rahmati *et al.*, 2010). همچنین به علت استفاده نکردن از درختان سوزنی برگ برای تهیه کاغذ در این پساب‌ها رزین کمی وجود دارد. به طور کلی، این الكل‌ها و اسیدهای چرب به علت داشتن مواد شبی استروژن میمیک<sup>1</sup> باعث تأثیر در فنوتیپ‌های ماهی از قبیل: تغییر جنسیت، عقیمی، بروز گناههای بین جنسی، بیان پروتئین‌های مخصوص جنسیت، و Jobling *et al.*, 1998 تأخیر یا تسریع بلوغ تولیدمثلی شده‌اند (Jobling *et al.*, 1998). همچنین در مطالعه درباره قزلآلای PCBs, chlordecone, nonylphenol رنگین‌کمان، Aroclor 1245 و lindane که می‌توانند در پساب کارخانه‌های کاغذسازی وجود داشته باشند همگی باعث القای زردده‌سازی در کبد قزلآلای رنگین‌کمان شدنند (Flouriot *et al.*, 1995). این مواد مشتق‌شده از چوب مثل سیتوسترونول در ماهی نر باعث توقف تولید استروئیدهای بیضه و کاهش ظرفیت تولیدمثلی (Maclatchy and Vanderkraak, 1995) می‌شوند (Hamzeh *et al.*, 1995). ویتلوزنین ماده‌ای است در کبد ماهیان مولد که برای ساخت زرده و از طریق هورمون‌های استروئیدی گنادها به خون می‌ریزد تا در تخمهای قرار گیرد. ژن ویتلوزنین در کبد هر دو جنس نر و ماده یافت می‌شود که با قرارگرفتن در معرض استروژن فعال می‌شود (Folmar *et al.*, 1996). به همین علت، ویتلوزنین شاخص زیستی<sup>2</sup> ایدئالی برای ترکیبات شبه استروژن در جانوران به شمار می‌رود (Jobling and Sumpter, 1995).

از طرف دیگر، انتظار می‌رود این پساب‌ها به دلیل بلوغ زودرس و تخمریزی قبل از موعد باعث شوند

1. Estrogen mimic  
2. Biomarker

## ۱. مقدمه

در چند دهه اخیر به علت توسعه بخش کشاورزی، صنعتی، و شهری استفاده از آب رودخانه‌ها برای کشاورزی همچنین آلودگی آب به انواع سموم کشاورزی و فاضلاب‌های شهری و صنعتی حیات آبزیان به خصوص ماهیان را بهشت در معرض خطر قرار داده است. از بین آلودگی‌ها و پساب‌ها، آلودگی‌های نفتی، سموم DDT، و پساب کارخانه‌های کاغذسازی و داروسازی، به علت داشتن مواد استروژنیک الكلی و اسید چرب، استروژنیک ارزیابی می‌شوند (Jobling *et al.*, 1998). به طور کلی، حدود ۳۵ درصد از مواد ورودی به کارخانه‌های خمیر و کاغذ به صورت پسماندهای مختلفی مانند ضایعات پوست‌کنی، انواع پسماندهای مختلف حاصل از فرآوری الیاف بازیافتی، لجن و پسماندهای سیستم تصفیه آب، و پساب و پسماندهای ناشی از جوهرزدایی الیاف Scott and Smith, (1995) بازیافتی جداسازی می‌شود (Hamzeh *et al.*, 1995). تولید سالانه انواع پسماند کارخانه چوب و کاغذ مازندران ۱۷۵۰۰ تن است (Hamzeh *et al.*, 2011). به طور کلی، در کارخانه‌های کاغذسازی ایران میزان بسیاری کولش برنج و باگاس (چوب نیشکر) برای ساخت کاغذ استفاده می‌شود که پساب مورد مطالعه در این تحقیق است. این پساب‌ها به طور متوسط حدود ۴۰ درصد مواد معدنی و ۶۰ درصد ماده آلی دارند که گلوکز با نسبت حدوداً ۲۵ درصد بیشترین ماده آلی را به خود اختصاص می‌دهد و ۱۰ تا ۱۵ درصد لیگنین شامل الكل و اسیدهای چرب به صورت حل شده و حل نشده دارند. بیشترین میزان اسیدهای چرب استر متیل پالمتیک و اوئیک

## ۲. مواد و روش‌ها

### ۱.۲. ماهی

در این آزمایش برای بررسی بیان ژن ویتلوزین در کبد قزل‌آلای رنگین کمان نابالغ نر و ماده (جنسیت اهمیتی ندارد چون هر دو جنسیت ژن ویتلوزین را در کبد دارند) با وزن  $135 \pm 10$  گرم استفاده شدند؛ ماهیان بعد از خریداری از کارگاه تکثیر و پرورش تجاری به کارگاه بیماری‌های آبزیان گروه شیلات دانشگاه تهران منتقل شدند و بعد از انتقال ماهیان، بیش از ۲ هفته صرف سازگاری آنها با محیط آزمایشگاهی شد. دمای آب  $15 \pm 0.5$  درجه سانتی گراد بود و تغذیه نیز با استفاده از غذای کنستانتره تجاری (بیومار، ساخت شرکت فرانسه) و تراکم ۳۵ عدد در هشت‌صد لیتر صورت گرفت.

### ۲.۰.۲ تعیین $LC_{50}$

برای به‌دست‌آوردن دوز مواجهه ماهیان با پساب کارخانه‌های کاغذ مازندران و پارس اهواز (کولش برنج و باگاس)،  $LC_{50}$  قبل از مواجهه ماهیان با پساب به دست آمد. برای تعیین  $LC_{50}$  ماهیان به تانک‌های ۱۰۰ لیتری منتقل شدند (۱۰ عدد در هر تانک) و بعد از کاهش استرس با ۴ دوز ۴ و ۲ و ۱ و  $0.5$  گرم بر لیتر تیمار شدند و یک تانک شاهد در نظر گرفته شد و تکرار این آزمایش نیز ۳ بار صورت گرفت. تعداد تلفات روزانه از هر تانک در نرم‌افزار Probit Analyses قرار داده شد تا میزان  $LC_{50}$  به دست آید.

### ۳.۰.۲ نمونه‌گیری کبد

بعد از به‌دست‌آمدن  $LC_{50}$  سه تیمار شاهد، ۲۰۰ و  $500$  ppm ( $0/1$  و  $0/25$   $LC_{50}$ ) در نظر گرفته شدند و

ماهی موقع فصل تکثیر ذخیره زرده کمی داشته باشد و لارو با ذخیره زرده کم تولید کند و درصد تلفات لارو بالا رود؛ به طوری که مطالعات زیادی برای سنجش رفتار و تأثیرات استروژنی مواد با برخی از روش‌های مختلف شناسایی ویتلوزین در پلاسما انجام شده است، از جمله این مطالعات رادیو ایمنی شناختی و سنجش Immuno sorbent Idler و Campbell، ELISA et al., 1996؛ Denslow et al., 1999؛ Folmar Northern blot (Folmar et al., 1999). همچنین بعدها از طریق روش blot بیان ژن ویتلوزین به صورت غیر کمی اندازه‌گیری شد (Mellanean et al., 1999)، اما با پیشرفت در عرصه بیوتکنولوژی و ابداع روش‌های کمیت سنجی نسبی، سطوح نسبی بیان ژن هدف نسبت به سطوح بیان یک یا چند ژن کترل داخلی سنجیده می‌شود که به آن ژن رفرنس می‌گویند. بیان ژن رفرنس را می‌توان به طور کلی همزمان یا به طور جداگانه نسبت به ژن هدف سنجش کرد که در روش کمیت نسبی نیاز به ساخت استانداردهایی با غلظت مشخصی از cDNA نیست و برای محاسبه آن مدل و فرمول ریاضی ارائه شده است (Pfaffl, 2004).

بنابراین در این تحقیق سعی بر آن بود که قزل‌آلای رنگین کمان در مواجهه با دوزهای مختلف ppm (۲۰۰ و  $500$  جزء مورد و روش‌هاست) از پساب کارخانه‌های کاغذسازی مازندران و پارس اهواز (کولش برنج و باگاس)، برای میزان بیان ژن ویتلوزین، به صورت نیمه کمی به منظور تشخیص تأثیرات شبه استروژنی این پساب‌ها به دست آید.

فاز بالایی خالی شد و برای شستشو ویال‌ها با ۱ میلی‌لیتر اتانول ۷۵ درصد پر شد. سپس، در ۵ دقیقه با دمای ۴ درجه سانتی‌گراد با دور ۱۲۰۰۰ g سانتریفوژ شد. فاز بالایی دور ریخته شد و ویال‌ها در زیر هود قرار گرفتند و بعد به میزان ۴۰ میکرولیتر آب عاری از RNase به آن اضافه شد.

## ۵.۲ سنجش کمیت و کیفیت RNA و حذف DNA

بعد از عملیات استخراج، کمیت RNA برای همه نمونه‌ها با استفاده از دستگاه نانودرایپ ۱۰۰۰ بررسی شد و بعد از آن روی ژل آگاروز ۱٪ کیفیت RNA برای همه نمونه‌ها ارزیابی شد. در دستگاه نانودرایپ ۱۰۰۰، نسبت ۲۸۰/۲۶۰ و ۲۶۰/۲۳۰ جذب در ۲۶۰ و ۲۸۰ نانومتر برای ارزیابی خلوص RNA استفاده می‌شود. نسبتی از ~۲۰ به طور کلی به عنوان «غالص» بودن برای RNA پذیرفته شده است. اگر نسبت خیلی پایین‌تر باشد، در هر دو مورد ممکن است حضور پروتئین، فنل یا سایر آلاینده‌ها را در نزدیکی ۲۸۰ و ۲۳۰ نانومتر نشان دهد.

بلافاصله بعد از استخراج RNA، برای حذف آلدگی DNA از کیت Invitrogen (USA) با غلظت یک میکرولیتر DNase طبق پروتکل شرکت سازنده استفاده شد. بر این اساس، چهار میکرولیتر RNA و یک میکرولیتر بافر DNase ۱۰ x و یک میکرولیتر ۱U/µl DNase و چهار میکرولیتر آب عاری از DEPC- treatment Water) RNase اضافه شد. سپس، در دمای اتاق (۲۵ درجه سانتی‌گراد) به مدت ۱۵ دقیقه انکوبه شد. و بعد با DNase کردن یک میکرولیتر ۰,۵ mM EDTA

قبل از نمونه‌گیری وسایل اتوکلاو شدند. ماهیان قزل‌آلای رنگین‌کمان به ظرف پودر گل میخک ۱ g/1 متنقل شدند و نمونه‌برداری از کبد به صورت استریل در روزهای ۰ و ۶ و ۱۴ انجام گرفت (این آزمایش ۳ بار تکرار شد و تراکم ۳۵ عدد در هزار لیتر بود) سپس، کبد‌ها به تانک ازت متنقل شده و بعد برای استخراج RNA به فریزر -۸۰ درجه سانتی‌گراد انتقال داده شدند.

## ۴.۲ استخراج RNA

برای استخراج RNA طبق پیشنهاد شرکت سازنده از کیت Biozol (USA) استفاده شد. به طور خلاصه ابتدا همه وسایل اتوکلاو شدند و استخراج در اتاق استریل RNA انجام شد. ۳ نمونه کبد قزل‌آلای رنگین‌کمان به ازای هر تکرار در هاون له شدند و نمونه‌های خردشده کبد بین ۵۰ تا ۱۰۰ میلی‌گرم در ویال‌ها قرار داده شدند و ۱۰۰۰ میکرولیتر محلول Biozol به نمونه‌ها اضافه شد و به مدت ۲ دقیقه Vortex شد و ۱۵ دقیقه در دمای اتاق قرار داده شد. سپس، به میزان ۲۰۰ میکرولیتر کلروفرم اضافه شد و به مدت ۱۵ ثانیه بهشدت تکان داده شد سپس، ۱۵ دقیقه در یخ انکوبه شد و برای ۱۵ دقیقه با دور ۱۲۰۰۰ در ۴ درجه سانتی‌گراد سانتریفوژ (مدل دستگاه 3-16K Sigma) شد. سپس، فاز بالایی به ویال‌های جدید انتقال داده شد و به مقدار حجم برابر ایزوپروپانول<sup>۱</sup> اضافه شد و به آرامی تکان داده و به مدت ۳۰ دقیقه در دمای ۲۰-درجه سانتی‌گراد قرار داده شد و بعد به مدت ۱۰ دقیقه در دمای ۴ درجه سانتی‌گراد با دور ۱۲۰۰۰ g سانتریفوژ انجام گرفت.

1. Isopropanol

مجدداً تأیید شد (جدول ۱). ژن  $\beta$  actin نیز به منزله ژن شاهد انتخاب و با توجه به آن دو آغازگر جلو و عقب طراحی شد (جدول ۱).

### Real time PCR . ۲.۷.۲

بیان ژن ویتلوزین نیز با استفاده از دستگاه Real time PCR (ABI) و روش سایبرگرین در ۳ تکرار (تکرار تکنیکی در دستگاه) انجام شد. این عملیات به طور منفرد در میکروتیپ‌ها انجام شد، که مخلوط RNA شامل: cDNA اشتقاق از دو میکرولیتر PCR master mix PCR (۴۲۰۰ - ۳۰۰۰ ng/ $\mu$ l) و ۲x (۴۲۰۰ - ۳۰۰۰ ng/ $\mu$ l) از هر پرایمر و محلول سایبرگرین Power sybr green (USA, ABI) رقیق شد. محلول Real time PCR به ازای هر واکنش در جدول ۲ آمده است.

شرایط PCR عبارت بود از: واسرشنی اولیه برای ۴۰ دقیقه در دمای ۹۵ درجه سانتی‌گراد و با گردش در این دما در ۳۰ ثانیه انجام می‌شود و بعد با کاهش دما به ۶۵ درجه سانتی‌گراد به مدت ۲۰ ثانیه و بعد برای ۴۰ ثانیه در دمای ۷۴ درجه سانتی‌گراد قرار می‌گیرد و با ۴۰ گردش رنگ Sybr-green در محصول تجمع می‌یابد.

موجود غیر فعال شد. سپس، ویال‌ها به مدت ۱۰ دقیقه در دمای ۶۵ درجه سانتی‌گراد قرار گرفتند و برای سنتز cDNA دوباره به یخ منتقل شدند.

### cDNA . ۶.۲

سنتز cDNA با استفاده از کیت iScript cDNA synthesis I kit (USA, Bio-Rad) خلاصه بر اساس پیشنهاد شرکت سازنده، چهار میکرولیتر iScript reaction mix و یک میکرولیتر آنزیم iScript reverse transcriptase و میکرولیتر آب عاری از Nuclease به ویال‌ها اضافه شد و به صورت پی در پی در دمای ۲۵ درجه سانتی‌گراد به مدت ۵ دقیقه، بعد در دمای ۴۲ درجه سانتی‌گراد به مدت ۳۰ دقیقه، و در دمای ۸۵ درجه سانتی‌گراد به مدت ۵ دقیقه در بلاک‌های حرارتی ۱ قرار داده شد و در نهایت عمل ساخت cDNA از RNA صورت گرفت.

### ۷.۲. سنجش کمی بیان ژن ویتلوزین

**۱.۷.۲. طراحی آغازگر ژن هدف و رفرنس ( $Vtg$ ,  $\beta$  actin)**  
طراحی آغازگر ژن ویتلوزین قزل‌آلای رنگین‌کمان با استفاده از توالی (کد دسترسی<sup>۱</sup>: X92804.1) موجود در NCBI تجزیه و تحلیل شد؛ همچنین با استفاده از (Akbarzadeh, 2011) Primer 3 (v 0.4.0) نرم‌افزار

جدول ۱. آغازگر پیشرو و پسرو ژن هدف (Vitellogenin) و ژن رفرنس ( $\beta$  actin) قزل‌آلای رنگین‌کمان

Tm (Temperature)	Reverse	Forward	Gene
78 <sup>0C</sup>	GCAGCTGGGACGAAAGG	CTTGTGAACCCTGAGATC	Vitellogenin
82 <sup>0C</sup>	TTCAACCCTGCCATGT	ACGGCCAGAGGCGTACAG	$\beta$ actin

1. Heat block
2. Accession number
3. Applied Biosystems

### جدول ۲. محلول Real time PCR به ازای هر واکنش

ماده	مقدار مواد	غلظت مواد
پرایمر Forward	۱µl	۱۰ pmol
پرایمر Reverse	۱µl	۱۰ pmol
c ژن هدف و رفرنس cDNA	۲µl	W1 / ۱۰ cDNA
آب عاری از آنزیم نوکلئاز	۶µl	-
محلول سایبرگرین	۱۰ µl	master mix ۲x

### ۳. نتایج

#### ۱.۰.۳ تعیین $LC_{50}$

میزان  $LC_{50}$  پساب کارخانه کاغذسازی برای قزلآلای رنگین کمان با وزن  $۱۳۵ \pm 10$  گرم به مدت ۹۶ ساعت  $2 \text{ g/l}$  به دست آمد.

#### ۲.۰.۳ بررسی میزان کمیت و کیفیت RNA

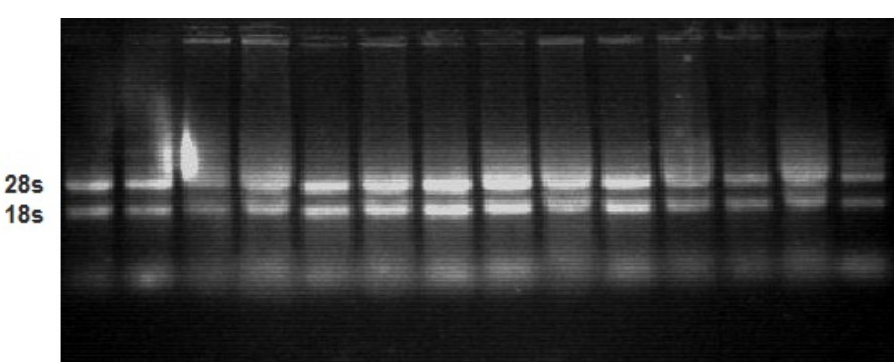
شکل ۱ کمیت و کیفیت RNA استحصالی کبد قزلآلای رنگین کمان را از دستگاههای نانودرایپ ۱۰۰۰ و ژل آگاروز ۱٪ نشان می‌دهد.

غلظت RNA در کل نمونه‌ها بین  $3000 \text{ ng}/\mu\text{l}$  تا  $4200 \text{ ng}/\mu\text{l}$  به دست آمد. نسبت جذب  $260/280$  و  $260/230$  RNA بین ۱/۷ تا ۱/۹ بود (شکل ۱). همچنین کیفیت RNA روی ژل آگاروز ۱٪ و دو زیر واحد RNA ریبوزومی (28s و 18s) که شاخص کیفیت RNA است به خوبی مشاهده می‌شود.

#### ۸.۰.۲ طرح آزمایش و روش آنالیز آماری

#### ۸.۰.۲ نرماسازی داده‌های خام

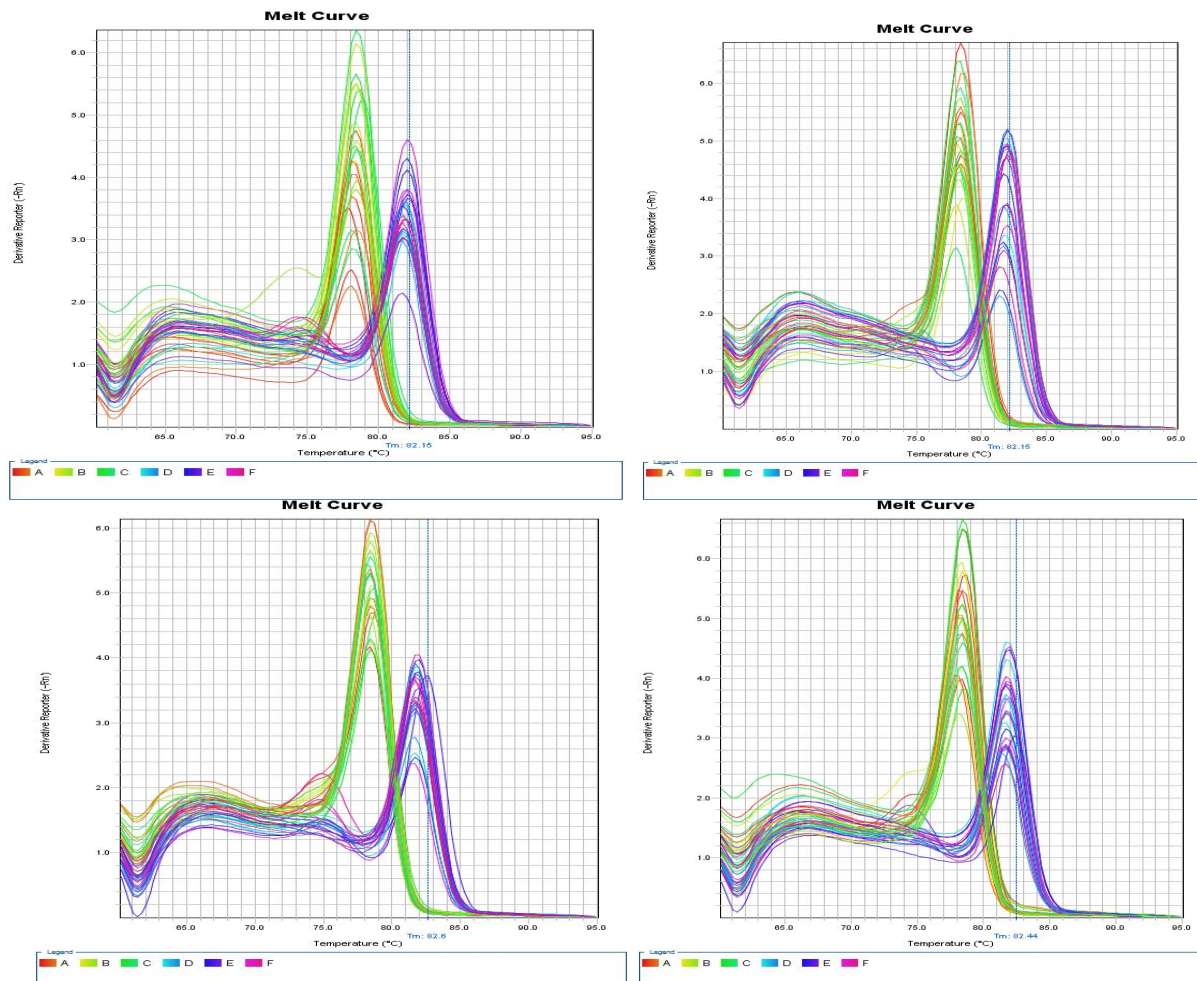
داده‌های حاصل از بیان ژن ویتلوزنین از نرم‌افزار Applied Biosystems ABI v 2.1 و SPSS 16 برای نرم‌اسازی و تجزیه و تحلیل عملیات آماری انتقال داده شد. با استفاده از فرمول  $2^{-\Delta\Delta C_T}$  (Livak , Schamittgen, 2001) مقادیر بیان ژن به دست آمد، که در آن  $\Delta\Delta C_T$  برابر است با  $\Delta C_T$  ژن هدف منهاهی  $C_T$  کالیبراتور  $\Delta C_{Target}$  برابر  $\Delta C_T - \Delta C_{Calibrator}$  است با مقدار  $C_T$  ژن هدف منهاهی  $C_T$  و  $\Delta C_{Target} = C_{T_{target\ gene}} - C_{T_{refrence\ gene}}$ . کالیبراتور برابر است با  $\Delta C_T$  ژن هدف هر نمونه منهاهی  $\Delta C_T$  نمونه کترل (نمونه غیر تیمار) (Pfaffel, 2004).



شکل ۱. کیفیت RNA استحصالی کبد قزلآلای رنگین کمان روی ژل آگاروز ۱٪. دو زیر واحد RNA ریبوزومی (28s و 18s) که شاخص کیفیت RNA است به خوبی مشاهده می‌شود.

#### ۴.۳. آنالیز منحنی ذوب (Melt curve)

دماهی ذوب cDNA پارامتری ویژه برای این مولکول است و به ساختمان cDNA و عواملی نظیر طول و تعداد نوکلئوتید، غلظت پرورب، میزان نمک محیط، و درصد GC بستگی دارد. از آنجا که Sybr-green می‌تواند بین محصولات مختلف تفاوتی قائل شود، می‌توان با استفاده از Melt curve نوع محصول را در فرایند PCR مشخص کرد. شکل نشان می‌دهد که نوکلئوتید غیر هدف و پرایمر دایمر وجود ندارد و طول زنجیره نیز به دلیل بالابودن نقطه ذوب برای مطالعه بسیار مناسب است.



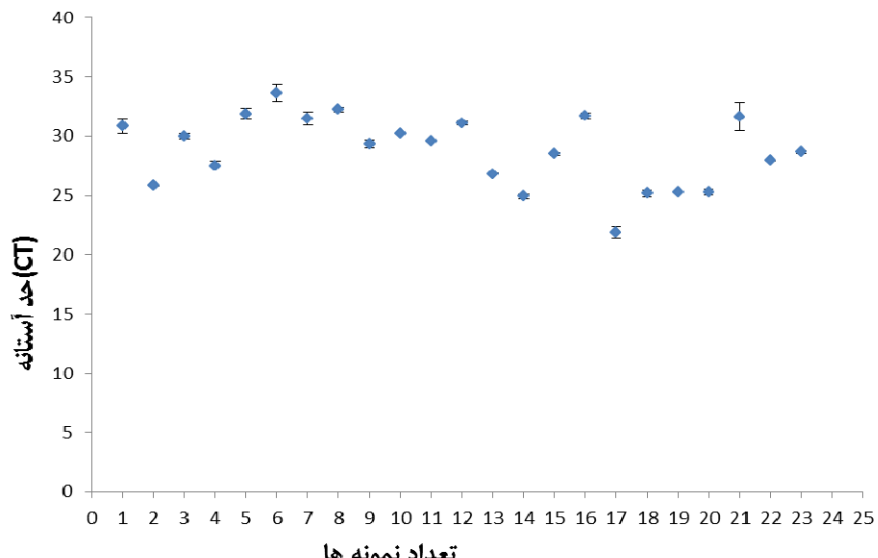
شکل ۲. منحنی ذوب Real time PCR برای همه نمونه‌ها که در آن سیگنال فلئورسانس (محور y) در مقابل درجه حرارت (محور x) رسم شده است. همه نمونه‌های زیستی با ژن رفرنس و ژن اصلی و با سه تکرار آزمایشی اندازه‌گیری شد. این شکل نشان می‌دهد که پیک اول، ژن هدف (ویتلوزین) با دماهی ذوب ۷۸ و پیک دوم، ژن رفرنس ( $\beta$  actin) با دماهی ذوب ۸۲ است.

#### ۳.۰.۳. تعیین بهترین ژن رفرنس<sup>۱</sup>

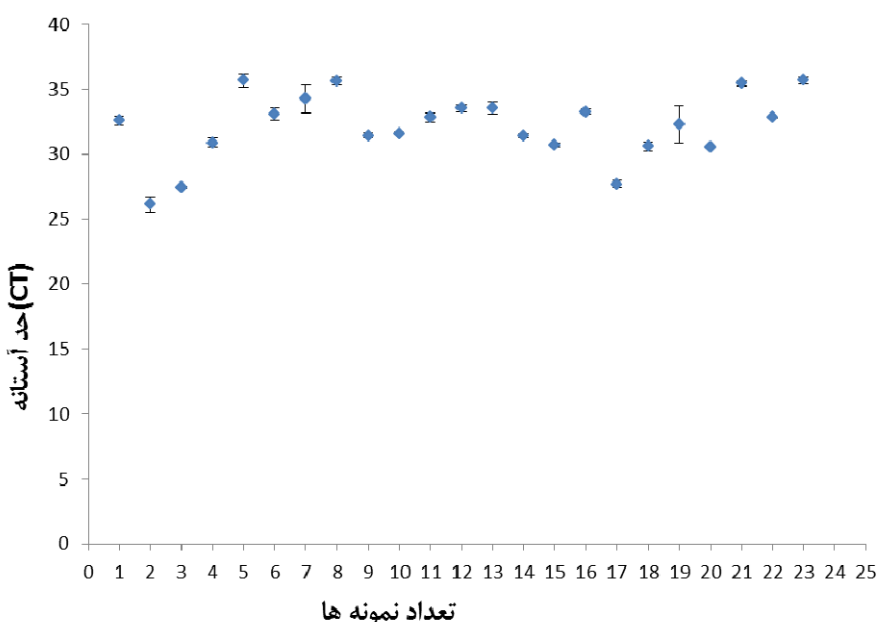
در این آزمایش  $\beta$  actin به این علت که میزان تغییرات آن در دستگاه Real time PCR کم است، با مقایسه تطبیقی توالی‌های متفاوت و Blast کردن این ژن در پایگاه اطلاعاتی NCBI بهترین ژن رفرنس برای این آزمایش در نظر گرفته شد، که عدد ثبات آن ۰/۱۲۹ در مطالعات پیشین اکبرزاده و همکاران در سال ۱۳۹۰ روی تاس ماهی ایرانی به دست آمد.

نمونه‌ها بسیار کم است؛ همچنین میانگین‌ها نیز از ۲۵ تا ۳۵ نوسان دارند که بالا بودن راندمان PCR را نشان می‌دهند.

**۵.۳. الگوی بیان ژن بر اساس میانگین و  $\pm SD$**   
شکل‌های ۳ و ۴ الگوی بیان ژن ویتلوزنین (ژن هدف) و (ژن رفرنس) را بر اساس میانگین و  $\pm SD$  نشان می‌دهند که میزان انحراف معیار برای همه



شکل ۳. الگوی میانگین و  $\pm SD$  بیان ژن ویتلوزنین

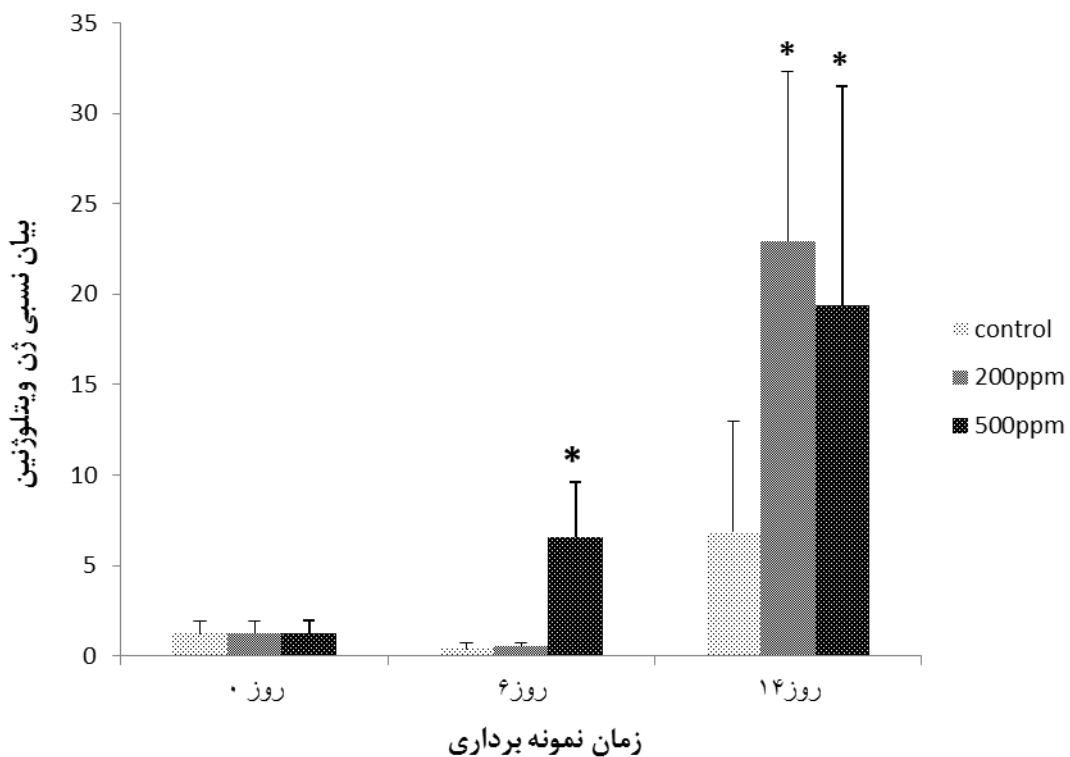


شکل ۴. الگوی میانگین و  $\pm SD$  بیان ژن  $\beta$  actin

دوز (۰/۲۵ ppm) ۵۰۰ در روز ششم بیان ژن افزایش معنی‌داری را نشان می‌دهد، تا در روز ۱۴ به حداقل خود می‌رسد. در غلظت کمتر (۰/۲۰۰ ppm) در روز ششم بیان ژن ویتلوزین افزایش معنی‌دار نداشت، اما در روز ۱۴ این میزان افزایش معنی‌داری را نشان داد.

### ۶.۳ مقادیر بیان ژن ویتلوزین کبد قزلآلای رنگین کمان

نتایج این آزمایش نشان داد که با افزایش دوز پساب کارخانه کاغذسازی بیان ژن ویتلوزین نیز در مدت زمان کمتری (روز ششم) رخ می‌دهد و در روز ۱۴ بیان ژن به حداقل خود می‌رسد. همان گونه که شکل نشان می‌دهد (شکل ۵)، در بیان ژن ویتلوزین در



شکل ۵. بیان ژن ویتلوزین کبد قزلآلای رنگین کمان در روز ششم و چهاردهم در دوز بالاتر (۵۰۰ ppm) پساب کارخانه کاغذسازی و همچنین در دوز پایین‌تر (۲۰۰ ppm) در روز چهاردهم نسبت به گروه‌های کنترل افزایش معنی‌داری را نشان می‌دهد.

ژن‌های رفرنس با نرم‌افزار Bestkeeper ژن‌های رفرنسی که انحراف معیار بالایی دارند برای آزمایش استفاده نشوند (Pfaffl *et al.*, 2004). در این آزمایش نشان داده شد که ژن رفرنس ( $\beta$ -actin) ثبات بالایی

۴. نتیجه‌گیری  
بیشترین مقادیر انحراف معیار برای ژن رفرنس ( $\beta$ -actin) عمدهاً زیر یک بود (شکل ۵). توصیه می‌شود به هنگام تجزیه و تحلیل داده‌های بیان

است استروژنیک ارزیابی کرد. همچنین علت بالابودن mg/l (۲ g/l) ناچیزبودن اسید رزین (LC<sub>50</sub>) ۰/۳۲ تا ۱/۲ و کلر (LC<sub>50</sub>) = ۰/۰۱ mg/l در این پساب‌هاست، چون از درختان سوزنی برگ که اسید رزین بالایی دارند برای تهیه کاغذ در ایران استفاده نمی‌شود. بقیه مواد سمی به خصوص کلر نیز که در رنگبری استفاده می‌شوند تصفیه و حذف می‌شوند. جدول ۳ عناصر موجود در کارخانه کاغذسازی مازندران را بر حسب درصد نشان می‌دهد، همان‌طور که مشاهده می‌شود میزان لیگنین (الکل و اسید چرب) به میزان ۱۵/۳ درصد حل نشده و ۱/۰۲ درصد حل شده است (Rahmati et al., 2010).

دارد. بر اساس مطالعات رحمتی و همکاران در سال ۱۳۸۹ و همزه و همکاران در سال ۱۳۹۰ بر روی پروفیل کارخانه‌های کاغذ ایران این پساب‌ها دارای ۱۰ تا ۱۵ درصد لیگنین شامل الکل و اسیدهای چرب به صورت حل شده و حل نشده است. همچنین به علت استفاده نکردن از درختان سوزنی برگ برای تهیه کاغذ در این پساب‌ها رزین کمی وجود دارد. بیشترین میزان اسیدهای چرب استر متیل پالمتیک و اولئیک اسیدند (جدول ۳) (Rahmati et al., 2010). به همین علت می‌توان پساب‌های کارخانه‌های کاغذسازی ایران را (کارخانه کاغذسازی مازندران و کارخانه کاغذسازی پارس اهواز) که ماده اولیه آن برای تهیه کاغذ کولش برنج و باگاس (چوب نیشکر)

جدول ۳. عناصر موجود در کارخانه کاغذسازی مازندران

مواد آلی	مجموع لیگنین	مواد معدنی	منشأ پسماند
کلازون	حل شده		
۳۹/۵	۱۵/۳	۱/۰۲	کاغذسازی مازندران
۶۰/۵	۰/۰۵	۳/۷۲	۰/۵۳

اساس مطالعات Mellanean و همکاران (1999) دو کارخانه با روش غیر کمی Northern blot فاقد بیان ژن بودند، اما در یک کارخانه در روز چهاردهم بیان ژن افزایش یافت و در این تحقیق نیز در هر دو تیمار ۱/۰ و ۰/۲۵ LC<sub>50</sub> در روز چهاردهم به صورت نیمه کمی افزایش بیان ژن ویتلوزنین مشاهده شد. به همین علت بیان ژن ویتلوزنین در روز چهاردهم می‌تواند شاخصی برای تشخیص آلودگی‌های استروژنیکی

تأثیرات پساب فاضلاب بر القای ویتلوزنین را اولین بار Harris و همکاران (1994) گزارش کردند (Sumpter et al., 1995). همچنین بعدها در کفشک ماهیان<sup>۱</sup> جنسیت نرها از آب خلیج بریتانیا و کپور وحشی<sup>۲</sup> در رودخانه می‌سی‌سی‌پی مشاهده شد (Jobling et al., 1998; Folmar et al., 2001). بر

1. flounders  
2. Feral carp

تأثیرات محیطی مثل دما و نور در بیان ژن ویتلوزین محسابه شود و سعی شود با استفاده از روش‌های مختلف، مانند نانولوله‌های تیتانیوم اکسید<sup>۱</sup> (Zhang *et al.*, 2012)، مواد استروژنیک حذف شود.

### تقدیر و تشکر

از دکتر علیرضا سلامی و دکتر سحاب حجازی برای راهنمایی‌ها و خدمات ارزنده‌شان طی تحقیق، همچنین از همه مسئولان کارگاه تکثیر و پرورش قزلآلای نظرآباد، کارگاه بیماری‌های آبزیان، آزمایشگاه بیولوژی، آزمایشگاه ژنومیکس، و آزمایشگاه مرکزی پردیس کشاورزی و منابع طبیعی دانشگاه تهران تشکر و قدردانی می‌کنیم.

پیشنهاد شود. همچنین دوز  $0/25 \text{ ppm}$   $\text{LC}_{50}$  در روز ششم افزایش معنی‌دار بیان ژن ویتلوزین را داشت. Vetillard و همکاران (2006) نیز تأثیر  $4\text{-n-nonylphenol } 20 \mu\text{g/l}$  کاغذسازی و آلدگی‌های نفتی روی کبد قزلآلای رنگین کمان بررسی کردند که در روز ششم افزایش بیان ژن ویتلوزین را نشان داد. در این بررسی همانند مشاهدات Islinger و همکاران (1999) روی قزلآلای رنگین کمان، که شش روز بعد از تزریق استروژن بیان ژن ویتلوزین افزایش داشت، حداقل افزایش بیان ژن ویتلوزین نیز در روز ششم بوده است. هر چه دوز پساب بیشتر باشد بیان ژن ویتلوزین در مدت کمتری (روز ششم) اتفاق می‌افتد. به همین علت روز ششم برای آلدگی‌های شدیداً استروژنیک و روز چهاردهم برای تشخیص آلدگی‌های استروژنیک خفیفتر پیشنهاد می‌شود. البته بررسی‌های زیادی درباره بیان ژن ویتلوزین در جهان شده است که روش‌های مختلف و مواد مختلفی داشتند و در زمان کمتری بیان ژن اتفاق افتاد. به نظر می‌رسد روش تزریق و میزان و نوع ماده استروژنیک در زمان بیان ژن ویتلوزین مؤثر باشد. برای مثال، بررسی‌های Le Guellec و همکاران (1988) درباره بیان ژن ویتلوزین در قزلآلای رنگین کمان نشان داد که با استفاده از تزریق استرادیول  $3 \text{ mg/kg}$  وزن بدن (WT) القای اولیه mRNA ویتلوزین در کبد قزلآلای در ۲ روز منجر به رسیدن RNA به سطح حداقل خود  $260 \text{ ppm}$  شد. در این آزمایش پیشنهاد می‌شود میزان تأثیرات این آلدگی در تغییر جنسیت و عقیمی نیز مطالعه شود. همچنین در تأثیرات پساب کارخانه کاغذسازی،

## References

- [1]. Akbarzadeh, A., 2011. Expression of the gene encoding the enzyme L-gulo in the early stages of growth and differentiation of Persian sturgeon. PHD Thesis. Department of Fisheries. Faculty of Natural Resources. University of Tehran, P 35-45. (In Persian).
- [2]. Andersson, T., Forlin, L., Harding, J., Larsson, A., 1988. Physiological disturbances in fish living in coastal water polluted with bleached kraft pulp mill effluents. Canadian Journal of Fisheries and Aquatic Sciences 45, 1525-1536.
- [3]. Arukwe, A., Knudsen, F.R., Goksyr, A., 1997. Fish zona radiata (eggshell) protein: a sensitive biomarker for environmental estrogens. Environmental Health Perspectives 105, 418–422.
- [4]. Bustin, S.A., 2000. Absolute quantification of mRNA using real time reverse transcription polymerase chain reaction assays. Journal of Molecular Endocrinology 25, 169-193.
- [5]. Bustin, S.S., Muller, R., 2005. Real time reverse transcription PCR (QRT-PCR) and its potential use in clinical diagnosis. Clinical Science 109, 365-379.
- [6]. Bustin, S.A., Nolan, T., 2005. Pitfalls of quantitative real time reverse transcription polymerase chain reaction. Journal of Biomolecular Techniques 15, 155-166.
- [7]. Couillard, C.M., Berman, R.A., Panisset, J.C., 1988. Histopathology of rainbow trout exposed to a bleached kraft pulp mill effluent, Environment Contamination Toxicology 17, 319-323.
- [8]. Deeley, R.G., Gordon, J.I., Burns, T.H., Mullinix, K.P., Binastein, M., Goldberger, R.F., 1977. Primary activation of the vitellogenin gene in the rooster. The journal of Biological Chemistry 83, 10-8319.
- [9]. Denslow, N.D., 1999. Vitellogenin as a biomarker of exposure for estrogen or estrogen mimics. Ecotoxicology 8, 385-398.
- [10]. Denslow, N.D., Kocerha, J., Sepúlveda, M.S., Gross, T., Holm, S.E., 2004. Gene expression fingerprints of largemouth bass (*Micropterus salmoides*) exposed to pulp and paper mill effluents. Mutation Research 552, 19–34.
- [11]. Denslow, N., Sepulveda, M., 2007. Ecotoxicological effects of endocrine disrupting compounds on fish reproduction. The Fish Oocyte 10, 255-322
- [12]. Devlin, R.H., Nagahama, Y., 2002. Sex determination and sex differentiation in fish: an overview of genetic, physiological, and environmental influences. Aquaculture 208, 191–364.
- [13]. Dixon, T., Taggart, J., Georg, S.G., 2002. Application of real time PCR determination to assess interanimal variabilities in CYP1A induction in the European flounder (*Platichthys flesus*). Marine Environmental Research 54, 267-270.
- [14]. Dhar, A., Dettori, R.A., Klimpel, M., Read, K.B., 2003. Identification of differentially expressed genes in shrimp (*Penaeus stylostris*) infected with White spot syndrome virus by cDNA microarrays. Archives of virology 148, 2381-2396.
- [15]. Ewart, V., Belanger, K., Williams, J., Karakach, J., Penny, T., Tsoi, S., Richards, S., Douglas, R.S., 2005. Identification of genes differentially expressed in Atlantic salmon (*Salmo salar*) in response to infection by *Aeromonas salmonicida* using cDNA microarray technology. Developmental and Comparative Immunology 29, 333-347.
- [16]. Ferreira, F., Santos, M.M., Castro, L.F. C., Henriques, M.A., Lima, D., Vieira, M.N., Monteiro,

- N.M., 2009. Vitellogenin gene expression in the intertidal blenny *Lipophrys pholis*: A new sentinel species for estrogenic chemical pollution monitoring in the European Atlantic coast. Comparative Biochemistry and Physiology 149, 58–64.
- [17]. Finn, R.N., Kristoffersen, A., 2007. Vertebrate vitellogenin gene duplication in relation to the “3R hypothesis” correlation to the pelagic egg and the oceanic radiation of teleosts. Plos One 2, 169.
- [18]. Finn, R.N., 2007. Vertebrate yolk complexes and the functional implications of phosvitins and other subdomains in vitellogenins. Biology of Reproduction 76, 926–935.
- [19]. Filby, A.L., Thorpe, K.L., Maack, G., Tyler, C.R., 2007. Gene expression profiles revealing the mechanisms of anti-androgen- and estrogen-induced feminization in fish. Aquatic Toxicology 81, 219–231.
- [20]. Flouriot, G., Pakdel, F., Ducouret, B., Valotaire, Y., 1995. Influence of xenobiotics on rainbow trout liver estrogen receptor and vitellogenin gene expression. Journal of Molecular Endocrinology 15, 143.
- [21]. Folmar, L.C., Denslow, N.D., Rao, V., Chow, M., Crain, D.A., Enblom, J., Marcino, J., Louis J.G., 1996. Vitellogenin induction and reduced serum testosterone concentrations in feral male Carp (*Cyprinus carpio*) captured near a major metropolitan sewage treatment plant. Environmental Health Perspective 104, 1096-1101.
- [22]. Folmar, L.C., Gardner, G.R., Schreibman, M.P., Magliulo-Cepriano, L., Mills, L.J., Zaroogian, G., Gutjahr-Gobell, R., Haebler, R., Horowitz, D.B., Denslow, N., 2001. Vitellogenin-induced pathology in male summer flounder (*Paralichthys dentatus*) 51, 431-441
- [23]. Gomez, Ch.V., Estepa, N., Perez, A.L., 2006. Rapid detection and quantitation of viral hemorrhagic septicemia virus in experimentally challenged rainbow trout by real-time RT-PCR. Journal of Virological Methods 132, 154-159.
- [24]. Hamzeh, Y., Mirzaei, B., Ashori, A., Doosthoseini, K., Rashedi, K., Olfat, A., 2011. Chemical composition of the paper making solid wastes. Iranian Journal of Wood and Paper Science Research 26, 281-290. (In Persian).
- [25]. Hiramatsu, N., Matsubara, T., Fujita, T., Sullivan, C.V., Hara, A., 2006. Multiple piscine vitellogenins: biomarkers of fish exposure to estrogenic endocrine disruptors in aquatic environments. Marine Biology 149, 35-47.
- [26]. Hook, S.E., Skillman, A.D., Small, J.A., Schultz, I.R., 2006. Gene expression patterns in rainbow trout, *Oncorhynchus mykiss*, exposed to a suite of model toxicants. Aquatic Toxicology 77, 372-385.
- [27]. Hook, S. E., Skillman, A. D., Small, J. A., Schultz, I. R., 2007. Temporal changes in gene expression in rainbow trout exposed to ethynodiol. Comparative Biochemistry and Physiology 145, 73–85
- [28]. Islinger, M., Pawlowski, S., 1999. Measurement of vitellogenin-mRNA expression in primary cultures of rainbow trout hepatocytes in a non-radioactive dot blot/RNase protection-assay. The Science of the Total Environment 233, 109-122.
- [29]. Islinger, M., Yuhan, H., Voelkl, A., Braunbeck, T., 2002. Measurement of vitellogenin gene expression by RT-PCR as a tool to identify endocrine disruption in Japanese medaka (*Oryzias latipes*). Biomarkers 1, 80-93
- [30]. Jobling, S., Nolan, M., Tyler, Ch.R., Brighty, G., Sumpter, J. P., 1998. Widespread Sexual Disruption in Wild Fish, Environmental Science and Technology 32, 2498–2506

- [31]. Lazier, C.B., Langley, S., Ramsey, N.B., Wright, J. M., 1996. Androgen Inhibition of vitellogenin gene expression in tilapia (*Oreochromis niloticus*). General and Comparative Endocrinology 104, 321–329
- [32]. Lim, E.H., Ding, J.L., Lam, T.J., 1996. Estradiol-Induced vitellogenin gene expression in a teleost fish (*Oreochromis aureus*). General and Comparative Endocrinology 82, 206-214
- [33]. Le Guellec, K., Lawless, K., Valotaire, Y., Kress, M., Tenniswood, M., 1988. Vitellogenin gene expression in male rainbow trout (*Salmo gairdneri*). General and Comparative Endocrinology 71, 359-371.
- [34]. Liu, Z., Teng, Y., Liu, H., Jiang, Y., Xie, X., Li, H., Lv, J., Gao, L., He, J., Shi, X., 2008. Simultaneous detection of three fish rhabdoviruses using multiplex real-time quantitative RT-PCR assay. Journal of Virological Methods, 149, 103-109.
- [35]. Maclatchy, D.L., Vanderkraak, G.J., 1995. The Phytoestrogen  $\beta$ -Sitosterol Alters the Reproductive Endocrine Status of Goldfish. Toxicology and Applied Pharmacology 134, 305-312
- [36]. Meng, X., Jang, I., Seo, H., Cho, Y., 2010. A TaqMan real-time PCR assay for survey of white spot syndrome virus (WSSV) infections in *Litopenaeus vannamei* postlarvae and shrimp of farms in different grow-out seasons. Aquaculture 310, 32-37
- [37]. Mellanen, P., Soimasuo, M., Holmbom, B., Oikari, A., Santti, R., 1999. Expression of the vitellogenin gene in the liver of juvenile white fish (*Coregonus lavaretus L. s.l.*) exposed to effluents from pulp and paper mills. Ecotoxicology and Environmental Safety 43, 133-137
- [38]. Mouchel, N., Trichet, V., Betz, A., Le Pennec, J.P., Wolff, J., 1996. Characterization of vitellogenin from rainbow trout (*Oncorhynchus mykiss*). Gene 174, 59-64.
- [39]. Navasa, J.M., Segner, H., 2006. Vitellogenin synthesis in primary cultures of fish liver cells as endpoint for in vitro screening of the (anti) estrogenic activity of chemical substances. Aquatic Toxicology 80, 1–22.
- [40]. Orrego, R., Guchardi, J., Krause, R., Holdway, D., 2010. Estrogenic and anti-estrogenic effects of wood extractives present in pulp and paper mill effluents on rainbow trout. Aquatic Toxicology 99, 160–167.
- [41]. Pait, A.S., Nelson, J.O., 2002. Endocrine disruption in fish: an assessment of recent research and results. University of Maryland, 63p.
- [42]. Pfaffl, M.W., 2004. Quantification strategies in Real time PCR, IN: Bustin, S. A. (Editor). A-Z of quantitative PCR International, University Line (IUL), La Jolla, CA, USA, Pp, 87-112.
- [43]. Pfaffle, M.W., Tichopad, A., Progoment, C. and Neuvians, T.P., 2004. Determination of stable houskeeping genes, differentially regulated target genes and sample integrity: Bestkeeper Excel-based tool using pair-wise correlations, Biotechnology Letters 26, 509-515.
- [44]. Rahmati, H., Abdolkhani, A., Hamzeh, Y., 2010. Characterization and removal of resins from mixed tropical hardwoods kraft pulp, Journal of Wood and Paper Industries. Number 1. Spring and Summer 46-56, (InPersian).
- [45]. Rimstad, E., Krona, R., Hornes, E., Olsvik, Q., Hyllseth, B., 1990. Detection of infectious pancreatic necrosis virus (IPNV) RNA by hybridization with an oligonucleotide DNA probe. Veterinary Microbiology 23, 211-219.
- [46]. Scott, Q.M., Smith, A., 1995. Sludge Characteristics and disposal alternative for the pulp and paper industry. Proceedings of the International Environmental Conference 269-279.

- [47]. Szenasy, E., Vancouver, B.C., Gray, C., Brewer, R., Vancouver, B.C., Juergensen, L., Kent, R., Caux P.Y., 1999. Developing Water quality guidelines for chemicals of concern from pulp mill effluent. *Developing Guidelines for Chemical of Concern* 43, 35-44.
- [48]. Stanko, J.P., Angus, R.A., 2006. Manufacture and its impact on the aquatic environment. *Environmental Contamination Toxicology* 185, 67–92.
- [49]. Sumpter, J.P., Jobling, S., 1995. Vitellogenesis as a biomarker for estrogenic. Contamination of the aquatic environment. *Environment Health Perspective* 103, 173-178.
- [50]. Svenson, S.A., Viktor, T., Holbech, H., Norrgren, L., 2006. Male-biased sex ratios and vitellogenin induction in zebrafish exposed to effluent water from a swedish pulp mill. *Environmental Contamination and Toxicology* 51, 445–451.
- [51]. Vaillant, C., Le Guellec, C., Pakdel, F., Valotaire, Y., 1988. Vitellogenin gene expression in primary culture of male rainbow trout hepatocytes. *General and Comparative Endocrinology* 70, 284-290.
- [52]. Vetillard, A., Bailhache, T., 2006. Effects of 4-n-nonylphenol and tamoxifen on salmon gonadotropin-releasing hormone, estrogen receptor, and vitellogenin gene expression in juvenile rainbow trout. *Toxicological Sciences* 92, 537.
- [53]. Vetillard, A., Bailhache, T., 2005. Expression in the liver and brain of juvenile rainbow trout. *Biology of Reproduction* 72, 119 -126.
- [54]. Wang, B., Li, F., Dong, B., Zhang, X., Zhang, C., Xiang, J., 2006. Discovery of the genes in response to white spot syndrome virus (WSSV) infection in *fennerepenaeus chinensis* through cDNA microarray. *Marine Biotechnology* 8, 491-500.
- [55]. Wang, Q., Nunan, L., Lightner, D., 2000. Identification of genomic variations among geographic isolates of white spot syndrome virus using restriction analysis and Southern blot hybridization. *Disease of Aquatic Organisms*, 43, 175-181.
- [56]. Wang, H., Jacqueline, T., Tan, T., Emelyanov, A., Korzh, V., Gong, Zh., 2005. Hepatic and extrahepatic expression of vitellogenin genes in the zebrafish (*Danio rerio*). *Gene* 356, 91 – 100.
- [57]. Wang. R., Zhang, Y., Zhang, G.L., Y., Jianguo, Fang, Z., Zhang, W., Guangzhi, M., 2008. Cloning, expression, and induction by 17-*b* estradiol (E2) of a vitellogenin gene in the white cloud mountain minnow (*Tanichthys albonubes*). *Fish Physiology Biochemical* 36, 157-164
- [58]. Wijegoonawardane, P., Cowley, J., Walker, P., 2010. A consensus real-time RT-PCR for detection of all genotypic variants of yellow head virus of penaeid shrimp. *Journal of Virological Methods* 167, 5-9.
- [59] Zhang, W., Li, Y., Wang, Q., Hu, H., 2012. Removal of endocrine-disrupting compounds, Estrogenic activity, and *Escherichia coli* form secondary effluents in a TiO<sub>2</sub>-Coated photocatalytic reactor. *Environmental Engineering Science* 29, 195-201